АСТРОФИЗИКА

TOM 53

НОЯБРЬ, 2010

ВЫПУСК 4

НОВЫЕ Нα ОБЪЕКТЫ. ОБЛАСТЬ Cyg ОВ7. I

Н.Д.МЕЛИКЯН, А.А.КАРАПЕТЯН

Поступила 23 августа 2010 Принята к печати 8 сентября 2010

Приводятся предварительные результаты поиска эмиссионных звезд в области Суд ОВ7. Новая область с размерами 14 х 14 угл. мин находится южнее НН 448 на 12 угл. мин. Обнаружены 17 новых объектов, один из которых связан с туманностью интересной формы, по-видимому с характеристиками кометарной туманности. Внутри туманности находятся 4 слабых, компактных образования с очень большими собственными движениями. Полученный спектр звезды показывает, что она принадлежит спектральному классу К9 - М0 и является звездой типа Т Таи на расстоянии 220пк. Предполагается, что большинство обнаруженных звезд с сильной или средней интенсивностью эмиссионной линии Нα также являются звездами типа Т Таи. По-видимому область представляет собой продолжение Т ассоциации, находящейся вокруг НН 448.

Ключевые слова: эмиссионные звезды - звезды типа Т Таи - ассоциации

1. Введение. Поиск эмиссионных объектов занимает очень важное место в исследованиях областей звездообразования. Население этих областей состоит из самых молодых звезд и туманных объектов, таких как звезды типа Т Таи, UV Сеti, НН-объекты, фуоры и т.д. - представители начальной стадии эволюции звезд. Исследование указанных объектов представляет огромный интерес в изучении эволюции молодых карликовых звезд.

Обнаружение эмиссионных объектов и их исследование всегда были одним из важных направлений в Бюраканской обсерватории. Начиная с 1979г., с целью обнаружения новых Нα объектов, в избранных областях известных темных облаков [1] проводились серии наблюдений на метровом телескопе системы Шмидта Бюраканской обсерватории. С помощью 4° объективной призмы в период 1979-1989гг. были обнаружены больше 200 новых эмиссионных звезд [2-8]. В частности, было показано, что больше 10% обнаруженных объектов показывают переменность интенсивности линии Нα.

Проводились более детальные и глубокие исследовавания небольшой области, почти в центре ассоциации Суд ОВ7. Область была снята на 2.6-м телескопе с помощью бесщелевого спектрографа. Первые же наблюдения области с размерами 11 х 11 угл. мин позволили обнаружить более 10 новых эмиссионных звезд, несколько НН-объектов и кометарных туманностей и очень интересную инфракрасную туманность [9-14]. Область

представляет особый интерес с точки зрения изучения областей звездообразования. Суд ОВ7 это огромный комплекс молекулярных облаков на расстоянии приблизительно 800 пк. В центре области находится известная темная туманность Хавтасси 141[1]. Облака очень пыльные, из-за чего их часто называют Северным Мешком для угля ("Northern Coalsack") [15,16]. Определение звездной ассоциации обычно основано на наличии звезд раннего типа в данной области. Этот комплекс по традиции называют звездной ассоциацией Суд ОВ7, хотя только одна звезда спектрального класса О7.5 III и один супергигант спектрального класса В1I (ВD+48 3437) находятся в этом направлении. Область интересна еще и тем, что темная туманность-комплекс молекулярных облаков, находящихся в пределах Хавтасси 141, содержит область НІІ IRAS 21078+5211 (W В89 43) и протозвезду GH 2O 092.67+03.07.

Настоящей работой начинается серия наблюдений на 2.6-м телескопе для обнаружения новых $H\alpha$ объектов. Выбраны области, где ранее были обнаружены эмиссионные объекты с помощью 4° объективной призмы [2-8]. Целью настоящих наблюдений является как обнаружение новых эмиссионных объектов, так и их фотометрические и спектральные исследования.

Настоящие наблюдения проводились вблизи Т ассоциации вокруг НН 448 [11]. В работе приводятся предварительные результаты поиска Нα объектов в этой области.

2. Наблюдения. Наблюдения проводились в июне и августе 2010г. на 2.6-м телескопе Бюраканской обсерватории с приемными аппаратурами ВуuFOSC и SCORPIO. При наблюдениях была использована ССD камера со светопринимающим элементом фирмы "Thomson" размерами 2060 х 2028 ріх, и, красная и зеленая гризмы, дающие разрешения соответственно 0.6 Å/ріх. и 1.7 Å/ріх. При наблюдениях были использованы также ширикополосный красный и узкополосный Нα фильтры. Нα фильтр с шириной ~75 Å вокруг эмиссионной линии был использован как при получении спектров звезд области с помощью бесщелевого спектрографа, так и для получения прямых изображений. О работе приемной аппаратуры и методики наблюдений ранее подробно описано в [9-14].

В Суд ОВ7 выбрана область с координатами центра $\alpha_{2000} = 21^h00^m12^s$ и $\delta_{2000} = 52^o18'18''$. Область находится южнее НН 448 = RNO127 на 12 угл. мин. В центре области находится ранее обнаруженная эмиссионная звезда [8].

Размеры области составляют 14 x 14 угл. мин. Получены также несколько спектров ранее обнаруженной эмиссионной звезды [8].

3. Результаты наблюдений. Настоящие наблюдения позволили обнаружить новые $H\alpha$ звезды, несмотря на то, что область ранее

неоднократно была исследована и спектральным и фотометрическим методами с целью обнаружения эмиссионных объектов. В ней были известны одна эмиссионная звезда [8], 8 источников из каталога объектов с эмиссионными линиями молекулярного водорода (Cyg 902, 903, 908, 912, 915, 918, 922 и 925) [17], инфракрасные источники излучения IRAS 20573+5151, IRAS 20575+5210, IRAS 20580+5208, IRAS 20588+5211 и IRAS 20593+5155[18], темные облака LDN 1003, LDN 104 [19] и TGU H541 [20], известный радиоисточник NVSS J205848+520842 [21], рентгеновский источник 1RXS J205901.2+520809 [22] и несколько На объектов из каталога IPHAS (INT Photometric H α Survey of the Northern Galactic Plane) [23]. Отметим, что Н α объекты IPHAS[23] обнаружены в результате фотометрических измерений $m_R - m_{H\alpha}$.

При обработке наблюдательного материала в области были обнаружены 17 эмиссионных объектов. В табл.1 приводятся данные об обнаруженных звездах. В соответствующих столбцах таблицы приводятся координаты, звездные величины, взятые из каталога NOMAD1 [24], интенсивность эмиссионной линии $H\alpha - I_{H\alpha}$ в июне и в августе, и результаты отождествления эмиссионных звезд с уже известными объектами —Ident. На

Таблица 1 ДАННЫЕ ОБ ОБНАРУЖЕННЫХ ЭМИССИОННЫХ ЗВЕЗДАХ

	Ct 2000	δ ₂₀₀₀	m _B	m _r .	m _R	J	Н	K	Г' _{На}	/°на август	Отождест-
1	20 59 32.45	52 19 39.2	20.7		17.6	11.5	10.4	9.8	w	m	
2	20 59 38.42	52 14 46.0	18.8	17.6	16.8	14.5	13.9	13.7	no	w	
3	20 59 42.34	52 10 18.7	17.9	17.2	17.0	14.2	13.7	13.6	Вне	m	
	TO THE REAL PROPERTY.	- 39				-33	- 7-1	-	области		No. of Contrast
4	20 59 45.03	52 17 49.6	18.3	17.1	16.2	12.9	11.9	11.3	2	S	- 10 K - 10 7 9
5	21 00 05.42	52 17 05.0	16.9	15.6	13.9	13.1	12.1	11.6	S	S	J210005.43+52
											1705.1[23]
6	21 00 11.61	52 18 18.1	16.7	15.5	14.2	11.4	10.5	10.0	S	S	No2[8]
7	21 00 13.51	52 11 21.9	18.1	17.2	16.7	13.4	12.6	12.3	no	S	
8	21 00 24.11	52 14 51.6	18.2	18.0	17.8	14.0	13.0	12.6	S	S	J210027.07+52
	- 20										1450.8[23]
9	21 00 28.78	52 15 57.3	18.1	16.6	16.1	13.1	12.2	12.0	w	m	
10	21 00 34.35	52 21 57.2	17.3	16.8	16.5	13.8	13.1	13.0	w	no	
П	21 00 36.45	52 12 04.5	16.9	16.1	15.8	13.0	12.0	11.3	no	m	
12	21 00 39.58	52 13 37.1	17.1	15.8	15.5	12.3	11.6	11.3	m	m	7
13	21 00 41.3	52 14 54.0	20.5	-	17.9	13.7	13.0	12.7	no	m	1 - 1 - 110
14	21 00 42.35	52 20 11.1	18.2	17.3	15.8	12.4	11.6	11.3	w	w	
15	21 00 46.29	52 14 59.1	20.1	1	18.5	14.0	13.3	13.0	S	S	
16	21 00 51.01	52 15 08.2	20.4	18.0	18.0	13.8	13.1	12.8	по	w	7
17	21 00 52.05	52 13 59.0	14.1	13.6	13.2	10.7	10.0	9.4	m	w	

^{*} s - сильная, m — средняя, w — слабая интенсивности, по - эмиссия в ${\rm H}\alpha$ отсутствует.

рис.1 приводятся спектры звезд, находящихся в центральной части области, полученные с использованием $H\alpha$ фильтра. На рисунке хорошо видна эмиссионная линия $H\alpha$. Следует отметить, что для обнаружения эмиссии у звезд разных яркостей, изображение области с помощью бесщелевого спектрографа снималось с разными экспозициями.

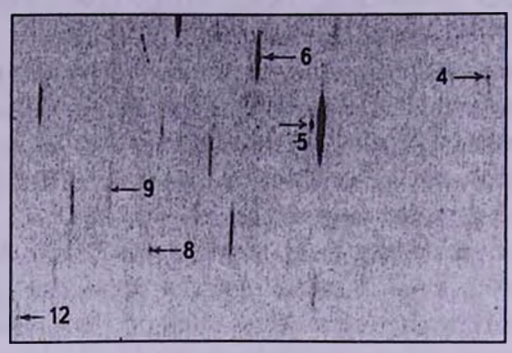


Рис.1. Спектры На звезд, полученные с помощью узкополосного На фильтра.

Следует отметить, что ранее при наблюдениях с использованием 4° объективной призмы [8] в области была обнаружена только одна эмиссионная звезда - № 6 (см. табл.1). Предельная звездная величина во время наблюдений с объективной призмой достигала 16^m.5 в красных лучах. Однако звезды № 2, 3, 6, 8 и 11 были обнаружены не как эмиссионные. Ревизия наших старых фотопластинок позволяет заключить, что вышеуказанные 5 звезд с большой вероятностью являются переменными, по крайней мере, показывают переменность линии На. Наши ранние исследования эмиссионных звезд с помощью объективной призмы показали, что больше 10% объектов обычно показывают переменность интенсивности эмиссионной линии На [2-8]. Отметим, что

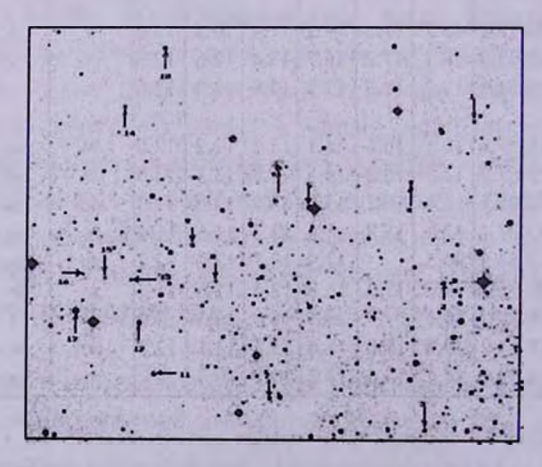


Рис.2. Карта отождествления новых На звезд.

всего 2 объекта из каталога IPHAS [23] попадают в нашу область и отождествляются со звездами № 5 и 8, с соответственными значениями $m_R - m_{\text{H}\alpha}$ 1.203 и 1.704.

Получен спектр звезды № 6 в спектральной области 5500-7500 А. Абсорбционный спектр звезды по распределению энергии напоминает спектры звезд К7 - М0 Главной последовательности [25]. На спектре звезды видны линии CaH(6346 Å, 6382 Å, 6389 Å), слабый бленд BaII с Ті, Fe и Са на длине волны 6497 Å, полоса СаН(6750-7050 Å) средней интенсивности, полосы A(7594-7685 Å) и B(6867-7000 Å) молекулярного кислорода О, и полоса Н,О (7186-7273 Å). Заметны очень слабые абсорбции линии LiI 6708 Å, характерная черта звезд типа Т Tau. Согласно [25], где подробно анализируются спектральные характеристики звезд в диапазоне 6300 - 9000 Å для звезд спектралных классов К5 - М9, следует, что поглощения линий СаН(6346 Å, 6382 Å, 6389 Å) интенсивны для спектральных классов К и исчезают у спектральных классов M4 - M5. Бленд Ball с Ti, Fe и Ca на длине волны 6497 Å на наших спектрах слабый, он обычно виден у звезд спектральных классов К и исчезает уже у ранних М[25]. Очень слабые линии поглощения TiO по интенсивности характерны для спектров звезд спектральных классов поздних К. Эмиссионный спектр звезды не богат. Видна очень интенсивная линия На с эквивалентной шириной $EWH\alpha = 23.5 \text{Å}\,$ и слабо заметны линии HeI 5876 Å и HeI 6678 Å. Указанные спектральные характеристики звезды № 6, позволяют заключить, что она является красным карликом спектрального класса К9 - МО Главной последовательности. Отметим, что по фотометрическим данным звезды она может иметь спектральный класс К7 - М3. По-видимому, такой большой разброс является результатом переменности блеска звезды. Имея в виду наличие эмиссионных линий и слабой абсорбции LiI 6708 Å, можно предполагать, что звезда переменная и по всей вероятности является звездой типа Т Tau. На спектре звезды замечаются следы NII 6545 Å и 6585 Å, которые очень слабы и, по-видимому, являются результатом наложения спектра соседней туманности на спектр звезды. Визуальная абсолютная звездная величина звезды Главной последовательности спектрального класса K9-M0 равна $m_{y}=8^{m}.8$. Пользуясь известным соотношением между модулем расстояния m - M и расстоянием, получим, что расстояние до этой звезды равно ~220 пк. Интересно, что приблизительно такое же расстояние (200 пк) было получено для другой эмиссионной звезды в направлении темного облака Хавтасси 141 [12], что дает основание заподозрить о существовании Т ассоциации на расстоянии 200 пк.

Очень близко к звезде № 6 находится туманность в форме запятой. Туманность достаточно яркая с северо-западной части звезды и постепенно

уменьшая яркость, простирается на северо-восток до звезды 2 MASS 21000999+5218192[24]. В каталог [24] включены 14 очень слабых объектов, которые распределены по длине туманности, 4 из которых обладают большими собственными движениями. В табл.2 приводятся данные об этих объектах: номер объекта, согласно NOMAD1[24], собственные движения объектов по α и по δ в милли угл. с (mas/yr) с соответственными ошибками измерения, и звездные величины в B (m_B) и R (m_R) лучах.

Таблица 2

ДАННЫЕ О СЛАБЫХ ИСТОЧНИКАХ С БОЛЬШИМИ СОБСТВЕННЫМИ ДВИЖЕНИЯМИ, НАХОДЯЩИХСЯ ВНУТРИ ТУМАННОСТИ

Объект(NOMADI)	Pm(α) mas/yr	σ <i>Pm</i> (α)	Pm(δ) mas/yr	σ <i>Pm</i> (δ)	$m_{_B}$	m_R
1423-0439787	-470	±101	+640	±87.1	20° .69	17 ^m .63
1423-0439790	-168	±43	+328	±50	20 .20	17 .87
1423-0439754	+410	±7	-640	±15	20 .68	16 .56
1423-0439796	+500	±31	+30	±33	20 .38	18 .13

На рис.3 показано движение этих 4 объектов, согласно данным, приведенным в табл.2. Видно, что все 4 объекта находятся в самой яркой части туманности с размерами 4 - 5 угл. с. С учетом ошибок измерений собственных движений, наблюдается движение объектов в противоположные стороны. Природа этих, а также остальных объектов неясна. Стрелки на рисунке, показывающие направления и размеры собственных движений вышеуказанных 4 объектов, пересекаются на расстоянии 3 - 4 угл. с от звезды, в области с площадью 15 - 20 кв. с. Вероятно они являются

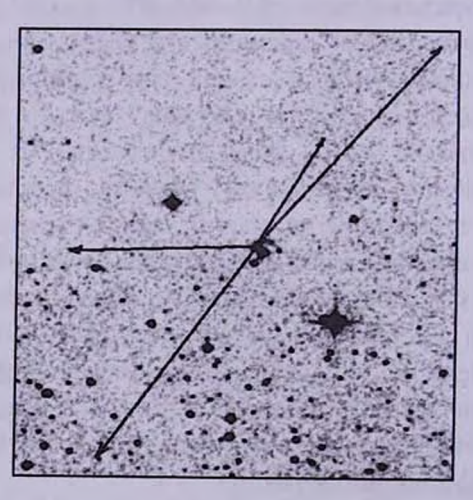


Рис.3. Направления и размеры собственных движений 4-х объектов, находящихся внугри туманности, очень близко к звезде № 6.

компактными сгустками выбросов, по-видимому, являющиеся результатом последовательной фрагментации первоначального дозвездного вещества.

4. Заключение. Поиск Нα объектов южнее НН 448 позволил обнаружить 17 новых эмиссионных объектов в области с размерами 14 х 14 угл. мин. Спектр звезды № 6 показывает, что она является звездой типа Т Таи. Среди остальных эмиссионных звезд большинство, повидимому, также являются переменными типа Т Таи, особенно те, которые показывают сильную эмиссию в линии Нα. Такая плотность звезд типа Т Таи характерна только для Т ассоциаций. Следовательно, новая Т ассоциация, которая была обнаружена вокруг НН 448, где, кроме 11 новых эмиссионных звезд, были обнаружены также несколько НН объектов и кометарных туманностей [9-14], простирается дальше еще на 15 угл. мин к югу. Принимая расстояние до этой области 800 пк [15], получим, что размеры ассоциации больше 5 пк. Некоторые наблюдательные данные позволяют предположить, что Т ассоциация, по-видимому, находится на расстоянии приблизительно 200 пк.

На основе наших наблюдений трудно определить природу туманности, связанной со звездой № 6, но наличие следов некоторых очень слабых эмиссионных линий в спектре звезды позволяет предположить, что туманность является эмиссионной, вероятно с характеристиками кометарных туманностей.

У 9 эмиссионных звезд в период наблюдений зарегистрирована переменность интенсивности эмиссионной линии.

Представленные предварительные результаты наблюдений позволяют заключить, что подробное исследование данной области в целом, и, в частности, обнаружение эмиссионных объектов, представляет определенный интерес в изучении молодых звезд и областей звездообразования.

Бюраканская астрофизическая обсерватория им. В.А.Амбарцумяна, Армения, e-mail: nmelikia@bao.sci.am

NEW Hα OBJECTS. Cyg OB7 REGION. I.

N.D.MELIKIAN, A.A.KARAPETIAN

The preliminary results of emission stars survey in the Cyg OB7 region are presented. The new region with dimensions 14 x 14 arc min is situated on 12 arc min to the south from HH 448. 17 new objects are found, one of which is

related with a nebula of interesting shape, probably possessing characteristics of cometary nebula. 4 weak, compact formations with very large proper motion are situated in the nebulae. The obtained spectum of the star shows that it belongs to the spectral class K9 - M0 and is a T Tau type star with a distance 220 pc. It is considered that most of discovered stars in this region with strong or average intensity of $H\alpha$ emission lines are also T Tau type stars. The region seems to be the continuation of T association situated around HH 448.

Key words: emisson stars - T Tau type stars - associations

ЛИТЕРАТУРА

- 1. Д.С.Хавтасси, Атлас Галактических Темных Туманностей, Абастуманская астрофиз. обсерв., Грузия, 1960.
- 2. N.D. Melikian, V.S. Shevchenko, S.Ju. Melnikov, IBVS, 3073, 1987.
- 3. L.G.Balazs, N.D.Melikyan, S.Ju.Melnikov, V.S.Shevchenko, IBVS, 3099, 1987.
- 4. Н.Д. Меликян, В. С. Шевченко, Астрофизика, 32, 169, 1990.
- Н.Д. Меликян, Астрофизика, 37, 210, 1994.
- 6. *Н.Д.Меликян*, *А.Ц.Карапетян*, Астрофизика, 38, 703, 1995.
- 7. Н.Д. Меликян, А.А. Карапетян, Астрофизика, 39, 57, 1996.
- 8. Н.Д.Меликян, А.А.Карапетян, Л.Р.Ахвердян, А.Ц.Карапетян, Астрофизика, 39, 217, 1996.
- 9. Н.Д.Меликян, А.А.Карапетян, Астрофизика, 44, 265, 2001.
- 10. Г.А.Арутюнян, Н.Д.Меликян, Астрофизика, 44, 431, 2001.
- 11. *Н.Д.Меликян*, *А.А.Карапетян*, Астрофизика, **46**, 353, 2003.
- 12. Н.Д.Меликян, В.С.Тамазян, А.А.Карапетян, Астрофизика, 49, 375, 2006.
- 13. *Н.Д.Меликян*, *В.С.Тамазян*, *А.А.Карапетян*, *С.К.Балаян*, Астрофизика, 50, 17, 2007.
- 14. *Н.Д.Меликян*, *В.С.Тамазян*, *Х.А.Докобо*, *А.А.Карапетиян*, Астрофизика, 51, 229, 2008.
- 15. P.T. de Zeeuw, R.Hoogerwerf, J.H.J. de Bruijne et al., Astron. J., 117, 354, 1999.
- 16. J.P. Bernard, K. Dobashi, M. Momose, Astron. Astrophys., 350, 197, 1999.
- 17. C.J.Davis, R.Gell, T.Khanzadyan et al., Astron. Astrophys., 511, 24, 2010.
- 18. Joint IRAS Science Working Group. Infrared Astronomical Satellite Catalogs, The Point Source Catalog, Version 2.0, NSSA RP - 1190, 1988.
- 19. B.T.Lynds, Astrophys. J. Suppl. Ser., 7, 1-52, 1962.
- 20. K.Dobashi, H.Uehara, R.Kandori et al., Publ. Astron. Soc. Jap., 57, 417, 2005.
- 21. J.J. Condon, W.D. Cotton, E.W. Greisen et al., Astron. J., 115, 1693, 1998.
- 22. W. Voges, B. Aschenbach, T. Boller et al., Astron. Astrophys., 349, 389, 1999.
- 23. J.E.Drew, R. Greimel, M.J.Irwin, Mon. Notic. Roy. Astron. Soc., 362, 753, 2005.
- N.Zacharias, D.G.Monet, S.E.Levine et al., Bulleten of the American Astronomical Society, Vol. 36, p.1418, 2004.
- 25. J.D. Kirkpatrick, T.J. Henry, D. W. McCarthy, Astrophys. J., Suppl. Ser., 77, 417, 1991.